

一九八〇年
全国弹性与塑性力学学术交流会
论文选集
下册

1980年6月 重庆

板壳力学、稳定及动力学

(下册)

- 35 轴对称园环壳的一般解
清华大学 钱伟长 郑思梁
- 36 悬臂矩形板弯曲
清华大学 张福范
- 37 两相邻边固定两相邻边自由的矩形板
清华大学 张福范
- 38 在不连续荷载作用下的悬臂矩形板的弯曲
清华大学 张福范
- 39 悬臂矩形板的不对称弯曲
清华大学 张福范
- 40 弹性基础板的变分解法
华东水利学院 傅作新
- 41 解两条边任意支承的连续矩形板
华中工学院 黄玉盈
- 42 均布载荷作用下的弹性厚板问题
北京工业学院 薛大为
- 43 厚管板的等效弹性常数
清华大学 钱伟长 戴福隆
- 44 扁壳园孔附近的应力集中
清华大学 龙驭球 包世华
- 45 厚环壳的扭转
重庆大学 江秉琛
- 46 扁壳大挠度问题修正的海林格—赖斯内原理
上海交通大学 钱仍勑
- 47 A181F梳棉机滚筒变形计算
山东工学院 周旭飞 穆清仙
- 48 弹性薄板高阶近似方程
西安交通大学 匡震帮
- 49 装配式板的整体作用
新疆工学院 范缙生
- 50 集中载荷作用下横向铰接板的荷载分布计算
华南工学院 何逢康 朱跃铿
- 51 应用逐步加载法求园板弯曲非线性问题
华南工学院 谭文宪
- 52 塑性动力学的数值方法

太原工学院 杨桂通

53 非正交级数展开法解弹性波衍射问题

工程力学所 苏士功 倪菊芬

54 裂纹对杆、板振动频谱的影响

西安交通大学 沈亚鹏 唐照千

55 弹性体系稳定性的近代理论和今后趋势

华中工学院 黄玉盈 金萝石 雷国璞

56 网格整体加筋圆筒壳稳定性试验研究

七机部七〇二所 王立祥

57 应力应变六参数方程及其在结构稳定性的计算和实验中的应用

哈尔滨船舶工程学院 罗培林

58 以环肋加强的园柱壳在液压作用下的总体稳定性

清华大学 黄克智 郑兆昌

59 两对边简支加肋矩形板自由振动的变分解法

武汉水利电力学院 史述昭

60 四边简支矩形板稳定问题的弹性力学解

科学院力学所 柳春图

61 双层金属截头扁锥壳的热稳定性

中国科技大学 刘人怀

62 用边界假想载荷计算薄板的热弯曲和热冲击

同济大学 张相庭

63 考虑初始缺陷的环肋薄壳的弹塑性稳定理论

大连工学院 周承倜

轴对称园环壳的一般解

钱伟长 郑思梁



清华大学基础部力学教研组

1980.2.

轴对称圆环壳的一般解

清华大学基础部 钱伟长 郑思梁

摘要

本文是前文^[1]的推广，它不限于细环壳 $\alpha = a/R \ll 1$ 的假定，其中 a 为环壳的截面半径， R 为环壳的总体半径。提出了轴对称圆环壳在 $0 \leq \alpha < 1$ 范围内的一般解，本文的解可以用来解决波纹壳、热膨胀器、高压容器的过渡部分和波登管等实用问题。本文的结果是前人从未求得的圆环壳的一般解。

一、基本方程及非齐次解

在 Love-Kirchhoff 薄壳假定下，B. B. Новожилов 导出的轴对称环壳复变量方程为：

$$(1 + \alpha \sin \varphi) \frac{d^2 V}{d\varphi^2} - \alpha \cos \varphi \frac{dV}{d\varphi} + 2\mu i \sin \varphi V = 2\mu P_0 \cos \varphi \quad (1)$$

其中 $V = -\frac{4\mu^2 D}{aa^2} (1 + \alpha \sin \varphi) \chi + i \left\{ \frac{2\mu}{a} \frac{(1 + \alpha \sin \varphi)^2}{\sin \varphi} Q - 2\mu \frac{Q_0}{\alpha} \cot \varphi \right\}$ (1a)

$$P_0 = -\frac{1}{2} \alpha q a i + \frac{Q_0}{\alpha} 2\mu \quad (1b)$$

式中 $\alpha = a/R$ $\mu \cong \sqrt{3(1-\nu^2)} \frac{a^2}{Rh}$ ， ν — 泊桑比， h — 壳的厚度， q — 壳壁所受分布载荷（外向为正）， Q_0 — $\varphi = 0$ 处的剪力， χ 和 Q 分别为壳的轴向转角变形和剪力。

如果根据 (1) 式求得解 V ，我们可以用它的虚数部分 ($I_m V$) 和实数部分 ($R_e V$) 来表达内力和变形，内力素表达式为：

$$N_\varphi = -\frac{\alpha \cos \varphi}{2\mu (1 + \alpha \sin \varphi)^2} I_m V + \frac{1}{2} q a \frac{(2 + \alpha \sin \varphi)}{1 + \alpha \sin \varphi} + Q_0 \frac{\alpha + \sin \varphi}{(1 + \alpha \sin \varphi)^2}$$

$$N_\theta = -\frac{1}{2\mu} \frac{d}{d\varphi} \left[\frac{I_m V}{1 + \alpha \sin \varphi} \right] + \frac{1}{2} q a - Q_0 \frac{\alpha + \sin \varphi}{(1 + \alpha \sin \varphi)^2}$$

$$M_\varphi = \frac{\alpha a}{4\mu^2} \left\{ \frac{d}{d\varphi} \left[\frac{R_e V}{1 + \alpha \sin \varphi} \right] + \nu \frac{\alpha \cos \varphi}{(1 + \alpha \sin \varphi)^2} R_e V \right\} \quad (2)$$

$$M_\theta = \frac{\alpha a}{4\mu^2} \left\{ \nu \frac{d}{d\varphi} \left[\frac{R_e V}{1 + \alpha \sin \varphi} \right] + \frac{\alpha \cos \varphi}{(1 + \alpha \sin \varphi)^2} R_e V \right\}$$

$$Q = \frac{\alpha}{2\mu} - \frac{\sin \varphi}{(1 + \alpha \sin \varphi)^2} I_m V + Q_0 \frac{\cos \varphi}{(1 + \alpha \sin \varphi)^2}$$

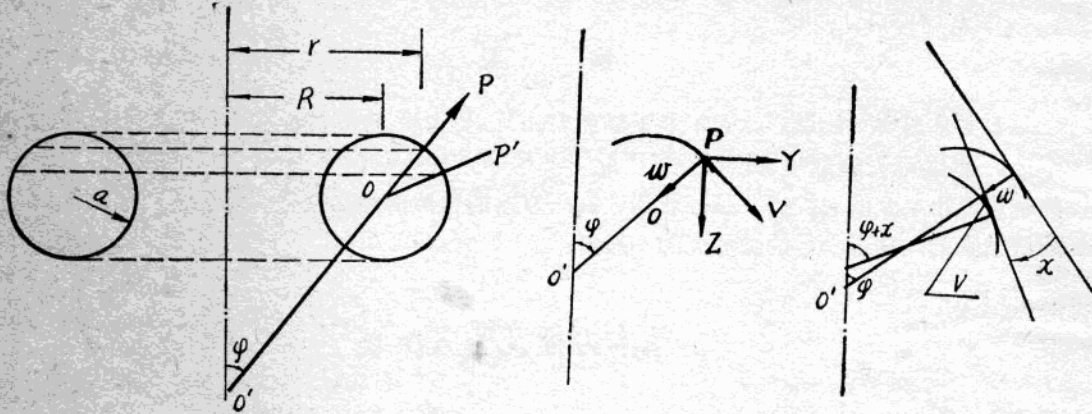


图 1 环壳的尺寸、坐标、位移和转角变形

轴向切线的变形转角 χ 、各点的径向位移 Y 和轴向位移 Z 的表达式为:

$$\begin{aligned} \chi &= - \frac{R_e V}{E h \alpha (1 + \alpha \sin \varphi)} \\ Y &= \frac{R}{E h} (1 + \alpha \sin \varphi) (N_\theta - \nu N_\varphi) \\ Z &= Z_0 - \int_{\varphi_0}^{\varphi} \frac{R}{E h} \frac{\cos \varphi}{(1 + \alpha \sin \varphi)} R_e V d\varphi \end{aligned} \quad (3)$$

式中 E —— 弹性系数。 $Z_0 = Z_{\varphi=\varphi_0}$

方程 (1) 的非齐次解设为 V^*

$$\begin{aligned} V^* &= -2P_0 \{ A_1 \cos \varphi + A_2 \sin 2\varphi - A_3 \cos 3\varphi - A_4 \sin 4\varphi + A_5 \cos 5\varphi + \\ &\quad + A_6 \sin 6\varphi - A_7 \cos 7\varphi - A_8 \sin 8\varphi + \dots + A_{4n+1} \cos (4n+1)\varphi + \\ &\quad + A_{4n+2} \sin (4n+2)\varphi - A_{4n+3} \cos (4n+3)\varphi - A_{4n+4} \sin (4n+4)\varphi + \\ &\quad + \dots \} \end{aligned} \quad (4)$$

代入 (1)，恒等两端有关项的系数，并利用三角关系式

$$\sin n\varphi \sin \varphi = \frac{1}{2} [\cos(n-1)\varphi - \cos(n+1)\varphi]$$

$$\cos n\varphi \sin \varphi = -\frac{1}{2} [\sin(n-1)\varphi - \sin(n+1)\varphi]$$

得递推关系

$$A_1 = \frac{1}{\frac{1}{\mu} - i(1+i\frac{2\cdot 3}{2\mu}\alpha) \frac{A_2}{A_1}} \quad (5A)$$

$$\frac{A_n}{A_{n-1}} = \frac{i \left[1 + i \frac{(n-1)(n-2)}{2\mu} \alpha \right]}{\frac{n^2}{\mu} - i \left[1 + i \frac{(n+1)(n+2)}{2\mu} \alpha \right] \frac{A_{n+1}}{A_n}} \quad (5B)$$

$$(n=1, 2, 3\cdots)$$

令

$$S_n = \frac{A_n}{A_{n-1}} \quad (6)$$

很易证明

$$S = \lim_{n \rightarrow \infty} S_n = -\frac{1}{\alpha} \pm \sqrt{\frac{1}{\alpha^2} - 1} \quad (7)$$

所以，根据 O. Perron 定理^[3]，连分式的极限比例收敛至 (7) 式的小根，于是，当 $\alpha < 1$ 时

$$|S| < 1 \quad (8)$$

亦即 (4) 是绝对收敛的。

在实际计算中，可以直接利用 (5B)，逐一计算系数比值 $\frac{A_n}{A_{n-1}}, \frac{A_{n-1}}{A_{n-2}}, \dots, \frac{A_4}{A_3}, \frac{A_3}{A_2}, \frac{A_2}{A_1}$ ，然后代入 (5A) 求得 A_1 ，有了 A_1 之后， $A_2 = \frac{A_2}{A_1} \cdot A_1, \dots, A_n = \frac{A_n}{A_{n-1}} \cdot A_{n-1}$ ，从而计算得系数 $A_1, A_2, A_3, \dots, A_n$ 。

(4) 式的解是 B. B. Новожилов^[4] 求得的周期解，因此，它无法满足边界条件。为此，我们必须求得 (1) 式的齐次解。

二、齐 次 解

(1) 的齐次方程可写成

$$\left[1 - \frac{\alpha i}{2} (e^{i\varphi} - e^{-i\varphi}) \right] \frac{d^2 V}{d\varphi^2} - \frac{\alpha}{2} (e^{i\varphi} + e^{-i\varphi}) \frac{dV}{d\varphi} + \mu (e^{i\varphi} - e^{-i\varphi}) V = 0 \quad (9)$$

设其解为

$$V = e^{\lambda \varphi} \sum_{n=-\infty}^{\infty} C_n e^{in\varphi} \quad (10)$$

其中 λ 为待定的指数, C_n 为待定系数。代入 (9) 得有关系数的递推公式
 $n > 0$

$$\frac{C_n}{C_{n-1}} = \frac{-\{\mu - \frac{\alpha i}{2} [\lambda + i(n-1)][\lambda + i(n-2)]\}}{(\lambda + in)^2 - \{\mu - \frac{\alpha i}{2} [\lambda + i(n+1)][\lambda + i(n+2)]\} \frac{C_{n+1}}{C_n}} \quad (11A)$$

$n < 0$

$$\frac{C_n}{C_{n+1}} = \frac{\{\mu - \frac{\alpha i}{2} [\lambda + i(n+1)][\lambda + i(n+2)]\}}{(\lambda + in)^2 + \{\mu - \frac{\alpha i}{2} [\lambda + i(n-1)][\lambda + i(n-2)]\} \frac{C_{n-1}}{C_n}} \quad (11B)$$

$n = 0$

$$[\mu - \frac{\alpha i}{2} (\lambda - i)(\lambda - 2i)] \frac{C_{-1}}{C_0} + \lambda^2 - [\mu - \frac{\alpha i}{2} (\lambda + i)(\lambda + 2i)] \frac{C_1}{C_0} = 0 \quad (11C)$$

令

$$\begin{aligned} S_n^{(1)} &= \frac{C_n}{C_{n-1}} & n > 0 \\ S_n^{(2)} &= \frac{C_n}{C_{n+1}} & n < 0 \end{aligned} \quad (12)$$

容易证明

$$\begin{aligned} S^{(1)} &= \lim_{n \rightarrow \infty} S_n^{(1)} = i \left(\frac{1}{\alpha} \pm \sqrt{\frac{1}{\alpha^2} - 1} \right) \\ |S^{(1)}| &= \frac{1}{\alpha} \pm \sqrt{\frac{1}{\alpha^2} - 1} \\ S^{(2)} &= \lim_{n \rightarrow \infty} S_n^{(2)} = i \left(-\frac{1}{\alpha} \pm \sqrt{\frac{1}{\alpha^2} - 1} \right) \\ |S^{(2)}| &= -\frac{1}{\alpha} \pm \sqrt{\frac{1}{\alpha^2} - 1} \end{aligned} \quad (13)$$

其中 $\alpha < 1$

正如文^[2]所证明, 级数的系数比收敛到极限二次式的“大根”, 而连分式则收敛至“小根”, 所以它们是收敛的。

由 (11) 式, 利用迭代法, 可以得到 λ 及 C_n 系数值。

必须指出, 如果将 λ 改为 $-\lambda$, 则 (11) 不变其差别只在于有关的 $\frac{C_{-n}}{C_0}$, $\frac{C_n}{C_0}$ 相互对调而已, 因此

$$V_{(1)} = e^{\lambda\varphi} \sum_{n=-\infty}^{\infty} C_n e^{in\varphi} \quad (14)$$

$$V_{(2)} = e^{-\lambda\varphi} \sum_{n=-\infty}^{\infty} (-1)^n C_n e^{-in\varphi}$$

是一对独立解。 λ 、 $\frac{C_n}{C_{n-1}}$ ($n > 0$)、 $\frac{C_n}{C_{n+1}}$ ($n < 0$) ……都是复数。

令

$$\lambda = \beta + i\gamma, \quad \frac{C_n}{C_0} = \frac{1}{2}(a_n + ib_n), \quad \frac{C_{-n}}{C_0} = \frac{1}{2}(a_{-n} + ib_{-n}) \quad (15)$$

则 $V_{(1)}$, $V_{(2)}$ 可表为

$$V_{(1)} = e^{\beta\varphi} (\cos \gamma\varphi + i \sin \gamma\varphi) \sum_{n=-\infty}^{\infty} C_n e^{in\varphi} \quad (16)$$

$$V_{(2)} = e^{-\beta\varphi} (\cos \gamma\varphi - i \sin \gamma\varphi) \sum_{n=-\infty}^{\infty} (-1)^n C_n e^{-in\varphi}$$

如果环壳的区域为 $\varphi_1 \leq \varphi \leq \varphi_2$, 其中 $\varphi = \varphi_1$, $\varphi = \varphi_2$ 为壳的两条边界, 我们认为在处理边值问题时, 最方便合用两个独立的齐次解, 可写成

$$V_{(1)} = (C'_0 + i\bar{C}'_0) e^{-\beta(\varphi_2 - \varphi)} (\cos \gamma\varphi + i \sin \gamma\varphi) [f_1(\varphi) + i f_2(\varphi)] \quad (17)$$

$$V_{(2)} = (B'_0 + i\bar{B}'_0) e^{-\beta(\varphi - \varphi_1)} (\cos \gamma\varphi - i \sin \gamma\varphi) [g_1(\varphi) + i g_2(\varphi)]$$

式中 $f_1(\varphi)$ 、 $f_2(\varphi)$ 、 $g_1(\varphi)$ 和 $g_2(\varphi)$ 为三角级数形式的实函数, C'_0 、 \bar{C}'_0 、 B'_0 及 \bar{B}'_0 为待定的实数

$$f_1(\varphi) = 1 + \sum_{n=1}^{\infty} (p_n \cos n\varphi - q'_n \sin n\varphi) \quad (18A)$$

$$f_2(\varphi) = \sum_{n=1}^{\infty} (p'_n \sin n\varphi + q_n \cos n\varphi) \quad (18B) \quad (18)$$

$$g_1(\varphi) = 1 + \sum_{n=1}^{\infty} (-1)^n (p_n \cos n\varphi + q'_n \sin n\varphi) \quad (18C)$$

$$g_2(\varphi) = \sum_{n=1}^{\infty} (-1)^n (-p'_n \sin n\varphi + q_n \cos n\varphi) \quad (18D)$$

其中

$$p_n = \frac{1}{2}(a_n + a_{-n}), \quad q_n = \frac{1}{2}(b_n + b_{-n}), \quad p'_n = \frac{1}{2}(a_n - a_{-n}), \quad q'_n = \frac{1}{2}(b_n - b_{-n}) \quad (19)$$

由于 (17) 的解中有 $e^{-\beta(\varphi - \varphi_1)}$ 和 $e^{-\beta(\varphi_2 - \varphi)}$, 所以这些解在远离边界时衰减很快, 这种衰减的性质指出, $V_{(1)}$ 、 $V_{(2)}$ 都是代表边界效应性质的应力部分; 在壳的内部, 其应力分布主要决定于非齐次解。其次, 上述齐次解适用于壳的全域, 没有奇点,

数解的收敛域的限制，完全是由采取级数解的形式所引起的，并不是微分方程解的本质问题。

三、 $\lambda = \beta + i\gamma$ 的计算

根据(1)式，可以看到 λ 为 μ 和 α 的函数，对细环壳而言， $\alpha=0$ ，所以 $\lambda(\mu, 0)$ 为 μ 的函数。对于实际的薄环壳而言， $h/a \leq \frac{1}{10}$ ，于是，对于已给的 μ 值而言，对 $\alpha=\frac{\alpha}{R}$ 有一定限制，因为

$$\mu = \sqrt{3(1-\nu^2)} - \frac{a^2}{Rh} \geq 10\alpha\sqrt{3(1-\nu^2)} \quad (20)$$

或

$$\alpha \leq \frac{\mu}{10\sqrt{3(1-\nu^2)}} = \frac{\mu}{16.52} \quad (21)$$

所以，对于薄壳而言， $\mu=1$ 时， $\alpha \leq 0.06$ ， $\mu=10$ 时 $\alpha \leq 0.605$ ，依此类推，我们将在(21)式的限制条件下，用迭代法计算(11)式的 λ 值。

设 λ_k 为第 k 次的迭代值。从(11c)式，有

$$\lambda_k = \sqrt{T_1(\lambda_{k-1}) - T_2(\lambda_{k-1})} \quad (22)$$

其中

$$T_1(\lambda_{k-1}) = [\mu - \frac{\alpha}{2}i(\lambda_{k-1} + i)(\lambda_{k-1} + 2i)] \left(\frac{C_1}{C_0} \right)_{k-1}$$

$$T_2(\lambda_{k-1}) = [\mu - \frac{\alpha}{2}i(\lambda_{k-1} - i)(\lambda_{k-1} - 2i)] \left(\frac{C_{-1}}{C_0} \right)_{k-1}$$

而且有 $n > 0$ 时

$$\left(\frac{C_n}{C_{n-1}} \right)_{k-1} = \frac{-\{\mu - \frac{\alpha}{2}i[\lambda_{k-1} + i(n-1)][\lambda_{k-1} + i(n-2)]\}}{(\lambda_{k-1} + in)^2 - \{\mu - \frac{\alpha}{2}i[\lambda_{k-1} + i(n+1)][\lambda_{k-1} + i(n+2)]\} \left(\frac{C_{n+1}}{C_n} \right)_{k-1}} \quad (23)$$

$$(23A)$$

$n < 0$ 时

$$\left(\frac{C_n}{C_{n+1}} \right)_{k-1} = \frac{\{\mu - \frac{\alpha}{2}i[\lambda_{k-1} + i(n+1)][\lambda_{k-1} + i(n+2)]\}}{(\lambda_{k-1} + in)^2 + \{\mu - \frac{\alpha}{2}i[\lambda_{k-1} + i(n-1)][\lambda_{k-1} + i(n-2)]\} \left(\frac{C_{n-1}}{C_n} \right)_{k-1}} \quad (23B)$$

求(22)式的解，在实际上是在 (y, λ) 平面中，求曲线

$$y = \lambda$$

$$y = \sqrt{T_1(\lambda) - T_2(\lambda)} \quad (24)$$

的交点。当然，因为 $\lambda = \beta + i\gamma$ 和 $\sqrt{T_1(\lambda) - T_2(\lambda)}$ 都是复数，所以，其说明比较复杂。为了简单起见，先设 $\alpha = 0$ ，于是不论 λ 和 $\sqrt{T_1(\lambda) - T_2(\lambda)}$ 都是实数。通过实际计算，(24) 式的两条曲线有图 2(a,b,c) 三种情况：

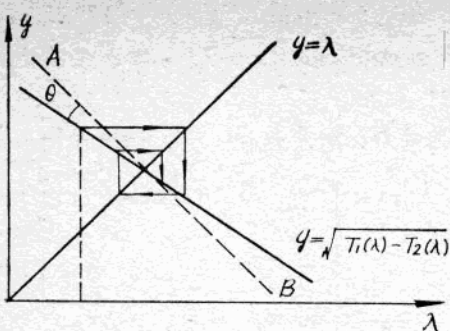


图 2a $AB \perp (y=\lambda)$ $45^\circ > \theta > 0$

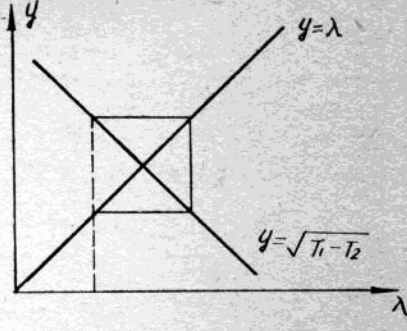


图 2b $y=\lambda$ 和 $y=\sqrt{T_1-T_2}$ 正交

当图 2a 中， $45^\circ > \theta > 0$ 时，明显地看到，当用 (22) 式的简单迭代就能达到收敛于交点的结果。这是多数的情况，当 $\mu < 1$ 时是这样的情况，简单迭代就能得到预期的结果。

在图 2b 中， $y=\lambda$ 和 $y=\sqrt{T_1-T_2}$ 正交，于是，当用 (22) 式的简单迭代时，达到临界状态，往复迭代，既不收敛也不发散。

在图 2c 中， $y=\lambda$ 和 $y=\sqrt{T_1-T_2}$ 不正交，设 AB 和 $y=\lambda$ 正交， $y=\sqrt{T_1-T_2}$ 和 AB 的交角 θ 和图 2a 相反， θ 向上，很容易看到，当用 (22) 式进行简单迭代时，是发散的。

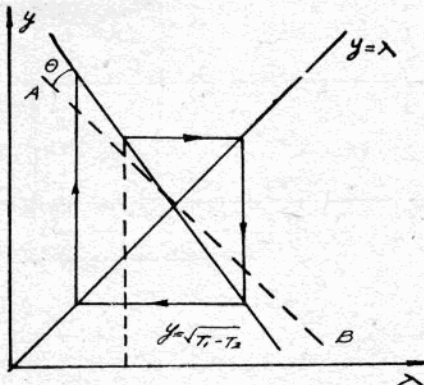


图 2c $y=\lambda$ 和 $y=\sqrt{T_1-T_2}$ 相交处， θ
从 AB 线向上

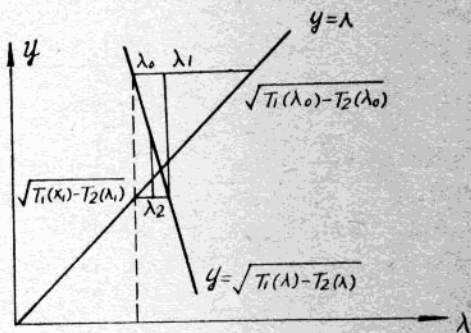


图 3 折算迭代法

$$\begin{aligned}\lambda_1 &= \eta \lambda_0 + (1-\eta) \sqrt{T_1(\lambda_0) - T_2(\lambda_0)} \\ \lambda_2 &= \eta \lambda_1 + (1-\eta) \sqrt{T_1(\lambda_1) - T_2(\lambda_1)}\end{aligned}$$

在遇到图 2b 和图 2c 的情况时，我们不能用简单迭代。我们建议采用折算迭代法，称

$$\lambda_k = \eta \lambda_{k-1} + (1-\eta) \sqrt{T_1(\lambda_{k-1}) - T_2(\lambda_{k-1})}$$

其中 η 取大于 $\frac{1}{2}$ 的数 $\frac{1}{2} < \eta < 1$ 。当图 2c 中的 θ 越大 ($\leq 45^\circ$) 时, η 应该取越大的值。在 $\mu = 3 \sim 6$ 之间, η 有时要取到 $99/100$ 这样接近于 1 的数。见图 3, 这样的折算迭代可以收到收敛的效果。

当曲线 $y = \sqrt{T_1(\lambda) - T_2(\lambda)}$ 很接近于 y 轴的平行线时, 要求 λ_0 值的选择很接近于交点, 不然, 稍一偏离, $\sqrt{T_1(\lambda) - T_2(\lambda)}$ 值就相差很大, 所以, 要求用拉格朗日插法从 μ 、 α 值附近的已知 $\lambda = \beta + i\gamma$ 值中估计 λ_0 值。

λ 计算结果见表 I、II 及图 4a、b。有关非齐次解系数 A_n 和齐次解系数 a_n 、 a_{-n} 、 b_n 和 b_{-n} , 因篇幅关系将另文发表。

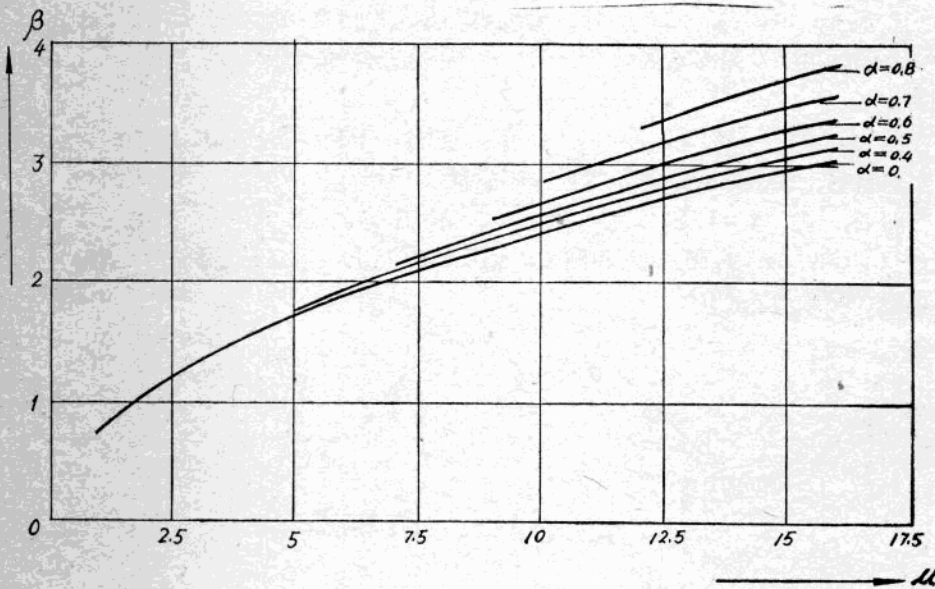


图 4a $\mu-\beta$ 关系曲线

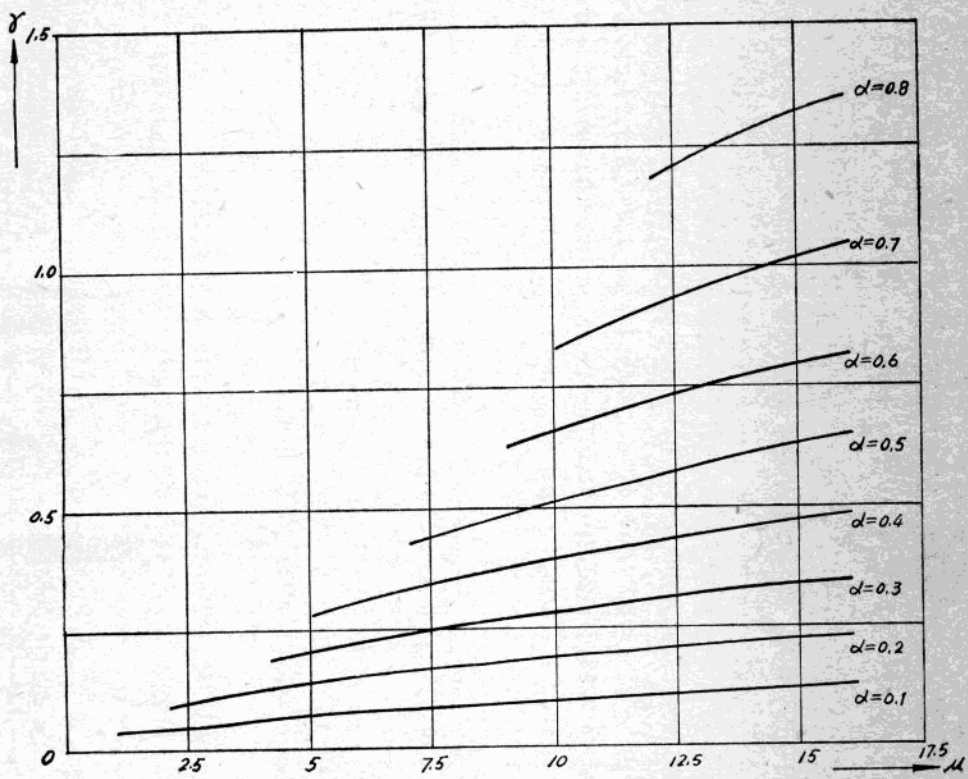


图 4b $\mu-\gamma$ 关系曲线

表 I $\lambda = \beta + i\gamma$ 中的 β 值

α	0	0.001	0.002	0.003	0.004	0.005	0.006	0.007	0.008	0.009	0.010	0.015
0.1	0.137352 ₂ 0	0.137354 ₁ 0	0.137359 ₀	0.137369 ₀	0.137383 ₁ 0	0.137400 ₅ 0	0.137421 ₇ 0	0.137446 ₇				
0.2	0.256150 ₁ 0	0.256151 ₂ 0	0.256154 ₄ 0	0.256159 ₇ 0	0.256167 ₂ 0	0.256176 ₈ 0	0.256188 ₀ 0	0.256202 ₃				
0.3	0.353357 ₅ 0	0.353358 ₃ 0	0.353360 ₅ 0	0.353364 ₂ 0	0.353369 ₄ 0	0.353376 ₀ 0	0.353384 ₂ 0	0.353393 ₈ 0	0.353404 ₉ 0	0.353417 ₅ 0	0.353431 ₆ 0	0.353523 ₇
0.4	0.433513 ₄ 0	0.433513 ₅ 0	0.433515 ₇ 0	0.433518 ₅ 0	0.433518 ₅ 0	0.433522 ₆ 0	0.433527 ₀ 0	0.433534 ₁ 0	0.433541 ₅ 0	0.433554 ₄ 0	0.433559 ₉ 0	0.433570 ₈ 0
0.5	0.501378 ₆ 0	0.501379 ₁ 0	0.501380 ₅ 0	0.501383 ₀ 0	0.501386 ₃ 0	0.501390 ₇ 0	0.501396 ₀ 0	0.501402 ₃ 0	0.501409 ₉ 0	0.501417 ₈ 0	0.501426 ₉ 0	0.501487 ₄
0.6	0.560412 ₇ 0	0.560413 ₁ 0	0.560414 ₄ 0	0.560416 ₆ 0	0.560419 ₉ 0	0.560423 ₅ 0	0.560428 ₂ 0	0.560433 ₈ 0	0.560440 ₂ 0	0.560447 ₆ 0	0.560455 ₈ 0	0.560505 ₉ 3
0.7	0.612966 ₁ 0	0.612966 ₆ 0	0.612967 ₈ 0	0.612969 ₈ 0	0.612972 ₆ 0	0.612976 ₂ 0	0.612980 ₈ 0	0.612985 ₈ 0	0.612992 ₁ 0	0.612998 ₆ 0	0.613006 ₂ 0	0.613056 ₅
0.8	0.660637 ₆ 0	0.660637 ₉ 0	0.660639 ₁ 0	0.660641 ₀ 0	0.660643 ₇ 0	0.660647 ₁ 0	0.660651 ₀ 0	0.660653 ₀ 0	0.660662 ₃ 0	0.660668 ₅ 0	0.660675 ₈ 0	0.660723 ₃

α	0	0.010	0.02	0.025	0.03	0.035	0.04	0.045	0.05	0.06	0.07	0.08
0.3	0.353357 ₅		0.353653 ₀									
0.4	0.433513 ₄		0.433743 ₅ 0	0.433872 ₅								
0.5	0.501378 ₆		0.501572 ₃ 0	0.501680 ₈ 0	0.501813 ₅ 0	0.501970 ₇						
0.6	0.560412 ₇		0.560585 ₄ 0	0.560681 ₆ 0	0.560800 ₈ 0	0.560940 ₈ 0	0.561101 ₈					
0.7	0.612966 ₁		0.613126 ₂ 0	0.613216 ₂ 0	0.613326 ₃ 0	0.613456 ₀ 0	0.613606 ₂ 0	0.613777 ₀				
0.8	0.660637 ₆		0.660790 ₆ 0	0.660876 ₀ 0	0.660981 ₇ 0	0.661105 ₆ 0	0.661249 ₃ 0	0.661412 ₂ 0	0.661594 ₄			
0.9	0.704534 ₄		0.704682 ₈		0.704869 ₆		0.705130 ₈		0.705465 ₈			
1	0.745441 ₄ 0	0.745477 ₇ 0	0.745587 ₆		0.745771 ₉		0.746029 ₈		0.746360 ₇ 0	0.746766 ₃		
2	1.066549 ₃ 1	1.066589 ₃ 1	1.066704 ₁		1.066899 ₁		1.067170 ₄		1.067520 ₅ 1	1.067948 ₀ 1	1.069038 ₇	

表 I $\lambda = \beta + i\gamma$ 中的 ρ 值 (续)

α	0	0.1	0.2	0.3	0.4	0.5	0.6	0.7	0.8	0.9
α	0	0.1	0.2	0.3	0.4	0.5	0.6	0.7	0.8	0.9
1	0.745441 ₄	0.749129 ₃								
2	1.066549 ₃	1.070446 ₁	1.082331 ₇							
3	1.310949 ₂	1.315140 ₆	1.327948 ₄							
4	1.516731 ₁	1.521217 ₅	1.534943 ₂	1.558767 ₀						
5	1.697751 ₉	1.702535 ₂	1.717180 ₀	1.742628 ₈	1.780710 ₄					
6	1.861235 ₀	1.866307 ₃	1.881839 ₉	1.908858 ₁	1.949336 ₈					
7	2.011469 ₃	2.016818 ₂	2.033203 ₃	2.061719 ₈	2.104487 ₈	2.165255 ₈				
8	2.151236 ₄	2.156850 ₆	2.174051 ₁	2.204003 ₁	2.248956 ₀	2.312891 ₂				
9	2.282461 ₃	2.288328 ₅	2.306312 ₄	2.337639 ₇	2.384685 ₁	2.451649 ₀	2.546099 ₂			
10	2.406530 ₁	2.412653 ₇	2.431390 ₁	2.464038 ₆	2.513093 ₄	2.582961 ₄	2.681586 ₇	2.824532 ₇		
11	2.524527 ₉	2.530877 ₂	2.550438 ₉	2.584263 ₈	2.635252 ₂	2.707912 ₅	2.810548 ₅	2.959425 ₇		
12	2.637244 ₁	2.643820 ₃	2.663984 ₀	2.699137 ₈	2.751992 ₅	2.827346 ₂	2.933847 ₂	3.088434 ₆	3.330356 ₇	
13	2.745334 ₇	2.752130 ₁	2.772972 ₈	2.809318 ₁	2.863976 ₇	2.941935 ₃	3.052168 ₀	3.212264 ₄	3.462984 ₇	
14	2.849326 ₃	2.856337 ₇	2.877838 ₇	2.915336 ₆	2.971746 ₄	3.052225 ₁	3.166067 ₈	3.331494 ₉	3.590716 ₈	4.082103 ₅
15	2.949655 ₃	2.956875 ₂	2.979014 ₆	3.017632 ₀	3.075740 ₀	3.158665 ₂	3.276011 ₉	3.446601 ₄	3.714054 ₆	4.221358 ₈
16	3.046682 ₇	3.054104 ₀	3.076865 ₆	3.116573 ₆	3.176330 ₈	3.261633 ₈	3.382382 ₈	3.557986 ₉	3.833429 ₈	4.356166 ₄

表 I $\lambda = \beta + i\gamma$ 中的 γ 值

α	β	0.001	0.002	0.003	0.004	0.005	0.006	0.007	0.008	0.009	0.010	0.015
0.1	0	0.000658 ₀	0.001317 ₈	0.001976 ₉	0.002635 ₁	0.003293 ₃	0.003951 ₆	0.004609 ₄				
0.2	0	0.000569 ₀	0.001138 ₂	0.001707 ₈	0.002276 ₃	0.002845 ₉	0.003414 ₂	0.003983 ₁				
0.3	0	0.000495 ₉	0.000991 ₈	0.001487 ₇	0.001983 ₅	0.002479 ₄	0.002975 ₂	0.003471 ₀	0.003966 ₈	0.004462 ₅	0.004958 ₁	0.007435 ₇
0.4	0	0.000448 ₀	0.000897 ₃	0.001345 ₉	0.001794 ₅	0.002243 ₁	0.002691 ₇	0.003140 ₃	0.003588 ₉	0.004037 ₄	0.004485 ₆	0.006728 ₂
0.5	0	0.000421 ₀	0.000842 ₁	0.001263 ₀	0.001684 ₁	0.002105 ₀	0.002526 ₃	0.002947 ₁	0.003368 ₁	0.003789 ₀	0.004210 ₁	0.006314 ₈
0.6	0	0.000406 ₅	0.000813 ₂	0.001219 ₅	0.001625 ₉	0.002032 ₃	0.002438 ₈	0.002845 ₃	0.003251 ₈	0.003658 ₂	0.004064 ₇	0.006096 ₈
0.7	0	0.000400 ₄	0.000800 ₈	0.001201 ₁	0.001601 ₄	0.002001 ₈	0.002402 ₂	0.002802 ₆	0.003209 ₀	0.003603 ₃	0.004003 ₈	0.006005 ₄
0.8	0	0.000399 ₈	0.000799 ₄	0.001199 ₁	0.001598 ₈	0.001998 ₅	0.002398 ₃	0.002797 ₉	0.003197 ₇	0.003597 ₄	0.003997 ₁	0.005995 ₇

α	β	0.010	0.020	0.025	0.030	0.035	0.040	0.045	0.050	0.060	0.070	0.080
0.3	0		0.00911 ₁									
0.4	0		0.008969 ₈	0.011209 ₈								
0.5	0		0.008419 ₁	0.010522 ₈	0.012625 ₈	0.014728 ₀						
0.6	0		0.008129 ₀	0.010160 ₆	0.012192 ₁	0.014223 ₁	0.016253 ₈					
0.7	0		0.008007 ₁	0.010008 ₇	0.012010 ₃	0.014011 ₈	0.016013 ₆	0.018014 ₃				
0.8	0		0.007994 ₁	0.009993 ₀	0.011991 ₆	0.013990 ₄	0.015989 ₂	0.017988 ₂	0.019987 ₂			
0.9	0		0.008051 ₈		0.012078 ₀		0.016105 ₁		0.020133 ₀			
1	0	0.004077 ₀	0.008154 ₂		0.012232 ₁		0.016310 ₈		0.020391 ₁	0.024473 ₂		
2	0	0.004863 ₉	0.009728 ₅		0.014594 ₅		0.019462 ₆		0.024333 ₀	0.029208 ₀	0.034086 ₉	0.038970 ₈

表 I $\lambda = \beta + i\gamma$ 中的 γ 值 (续)

α	0	0.1	0.2	0.3	0.4	0.5	0.6	0.7	0.8	0.9
1	0	0.040821 ₅								
2	0	0.048756 ₅	0.098252 ₃							
3	0	0.056004 ₁	0.113053 ₀							
4	0	0.062443 ₇	0.126187 ₀	0.192728 ₈						
5	0	0.068336 ₁	0.138182 ₉	0.211270 ₈	0.289859 ₉					
6	0	0.073787 ₆	0.149269 ₅	0.228384 ₂	0.313653 ₆					
7	0	0.078876 ₀	0.159610 ₉	0.244332 ₆	0.335801 ₄	0.438035 ₉				
8	0	0.083661 ₈	0.169334 ₁	0.259319 ₈	0.356595 ₈	0.465501 ₁				
9	0	0.088190 ₈	0.178534 ₉	0.273495 ₁	0.376255 ₆	0.491446 ₂	0.626622 ₇			
10	0	0.092502 ₀	0.187291 ₂	0.286978 ₈	0.394944 ₃	0.516097 ₄	0.658437 ₃	0.836920 ₆		
11	0	0.096623 ₀	0.195658 ₂	0.299860 ₇	0.412795 ₀	0.539629 ₆	0.688789 ₆	0.876019 ₀		
12	0	0.100574 ₉	0.203684 ₅	0.312215 ₇	0.429908 ₃	0.562190 ₅	0.717861 ₉	0.913449 ₂	1.186380 ₀	
13	0	0.104379 ₆	0.211406 ₉	0.324103 ₄	0.446369 ₆	0.583865 ₆	0.745806 ₈	0.949407 ₁	1.233721 ₇	
14	0	0.108052 ₁	0.218860 ₂	0.335571 ₁	0.462246 ₃	0.604774 ₇	0.772743 ₈	0.984054 ₂	1.279319 ₈	1.790849 ₃
15	0	0.111603 ₂	0.226068 ₈	0.346661 ₇	0.477594 ₈	0.624987 ₉	0.798773 ₇	1.017523 ₁	1.323353 ₄	1.853455 ₄
16	0	0.115045 ₃	0.233055 ₃	0.357408 ₉	0.492471 ₉	0.644566 ₄	0.823984 ₀	1.049929 ₀	1.365962 ₄	1.913985 ₂